

球かを有する弾性体中の円形き裂に関する考察

東北大学 學。平井弘義
東北大学 正 佐武正雄

1. 緒言

材料中の欠陥による応力集中係数やき裂の応力拡大係数など破壊の問題に対して多くの研究がなされてきている。Newman¹⁾は平面問題として、円孔がき裂平面に対して垂直方向に存在する無限体の応力拡大係数を求めた。本論文においては三次元問題として、球がが円形き裂面に対して垂直方向に存在する無限体を考え、球がの影響による円形き裂の応力拡大係数の変化について考察する。解析では、まず円形き裂面の境界条件を双積分方程式に持ち込み、未知関数と未定係数で表わし、次に球が面の境界条件を未定係数の無限連立一次方程式に帰着させた。

2. 変位ポテンシャルと境界条件

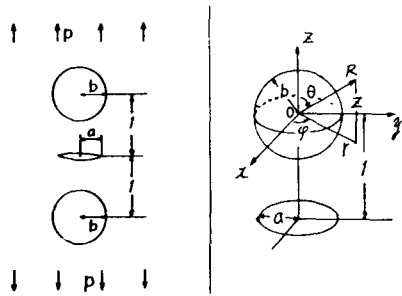


図1. 球かと円形き裂を
有する無限体の引張り

図1.に示すようなz軸の無限遠方で分布引張り荷重 P を受けた無限体について考える。対称性を考慮して図2.のように座標系とり、円柱座標 (r, θ, z) 、球座標 (ρ, θ, ϕ) を用い、円形き裂の中心から球が中心までの距離を1とし、それを単位長さとする。変位ポテンシャルとして次の式を導ぶ。

$$\left. \begin{aligned} 2G U_x &= \frac{\partial \Psi}{\partial x}, \quad 2G U_y = \frac{\partial \Psi}{\partial y}, \quad 2G U_z = \frac{\partial \Psi}{\partial z}, \\ 2G U_x &= z \frac{\partial \Psi}{\partial x}, \quad 2G U_y = z \frac{\partial \Psi}{\partial y}, \quad 2G U_z = z \frac{\partial \Psi}{\partial z} - (3-4V)\Psi, \end{aligned} \right\} (1)$$

ここに $\nabla^2 \Psi = \nabla^2 \Psi = 0$ である。いま、 $\Psi = \frac{\nu}{1+\nu}$
 $\times PR^2 P_2(\mu)$ 、 $\Psi = -\frac{\mu}{2(1+\nu)} RP_1(\mu)$ とすれば
 Z 軸の無限遠で分布引張り荷重 P を受け
 る無限体の解が得られる。ここに $\mu = \cos \theta$
 である。この場合次のよう応力が球面
 に生じている。

$$\left. \begin{aligned} \left(\frac{O_R}{P} \right)_{R=b} &= \frac{1}{3} (P_0(\mu) + 2 P_2(\mu)), \\ \left(\frac{T_{R\theta}}{P} \right)_{R=b} &= -\frac{1}{3} \sin\theta \frac{\partial}{\partial\mu} P_2(\mu). \end{aligned} \right\} (2)$$

また円形き裂面には次のような応力が生じて
いる。

$$\sigma_z = p \quad , \quad 0 \leq r < a . \quad \cdots \cdots \quad (3)$$

次に無限遠方で全ての応力及び変位が消失し、以下のような境界条件を満足する解を導き式(1)の解に重ね合わせれば、球か円形き裂を有する無限体の引張りに対する解が得られる。

(i) 円形き裂面 $\varepsilon = -1$ において

$$\tau_{rz} = 0, \quad 0 \leq r \quad \dots \quad (4)$$

$$uz = 0, \quad a < r, \quad \dots \quad (5)$$

$$\sigma_z = -p, \quad 0 \leq r < a. \quad \dots \quad (6)$$

(ii) 球が面 $R = b$ において

$$\left(\frac{\sigma_r}{p}\right)_{r=0} = -\frac{1}{3}(P_0(\mu) + 2P_2(\mu)), \dots \quad (7)$$

$$\left(\frac{T_{Rg}}{P} \right)_{\mu=1} = - \frac{1}{3} \sin \theta \frac{\partial}{\partial \mu} P_2(\mu), \quad \dots, 8)$$

さて、球調和関数と円柱調和関数について次式のものを用いる。

$$\Phi = P \sum_{n=1}^{\infty} A_n \frac{P_n(z)}{R^{n+1}},$$

$$\Psi = p \sum_{m=0}^{\infty} B_m \frac{P_m(u)}{R^{m+1}}, \quad \{ (9) \}$$

$$\Phi = p \int_0^\infty \varphi(\lambda) J_0(\lambda r) e^{-\lambda z} d\lambda , \quad \}$$

$$\Psi = p \int_0^\infty \lambda \psi(\lambda) J_0(\lambda r) e^{-\lambda z} d\lambda. \quad \{ (10)$$

3. 解析方法

まず、球関数を次式により円柱関数で

表わす。

$$\frac{P_n(\mu)}{R^{n+1}} = \frac{(-1)^n}{n!} \int_0^\infty \lambda^n J_0(\mu r) e^{\lambda z} dz, (z < 0). \quad (11)$$

式(9), (10)より得られる応力を重ね合わせ、式(4)より次式を得る。

$$\lambda \{ \Phi(\lambda) + (1-2\nu-\lambda) \Psi(\lambda) \} e^\lambda = \sum_{m=0}^{\infty} \frac{(-1)^m}{m!} \lambda^m \{ \lambda A_m - (1-2\nu+\lambda) B_m \} e^{-\lambda} \quad (12)$$

次に式(5), (6)に式(12)を代入すると次のようになる。

$$2(1-\nu) \int_0^\infty [\lambda \Psi(\lambda) e^\lambda + \sum_{m=0}^{\infty} \frac{(-1)^m}{m!} \lambda^m B_m e^{-\lambda}] J_0(\mu r) dr \\ = 0, \quad a < r, \quad (13)$$

$$\int_0^a [\lambda \Psi(\lambda) e^\lambda + \sum_{m=0}^{\infty} \frac{(-1)^m}{m!} \lambda^m \{ 2\lambda A_m + (4\nu-3-2\lambda) B_m \} e^{-\lambda}] J_0(\mu r) dr \\ = -1, \quad 0 \leq r < a. \quad (14)$$

式(13), (14)は双積分方程式である、 $\Psi(\lambda)$ は次のようになる。

$$\Psi(\lambda) = \sum_{m=0}^{\infty} \frac{(-1)^m}{m!} \left[-\frac{4e^\lambda}{\pi \lambda} d_{m+2}(\omega) A_m - \left\{ \frac{4e^\lambda}{\pi \lambda} (2(\nu-1)d_{m+1}(\omega) - d_{m+2}(\omega)) + \lambda^m e^{-\lambda} \right\} B_m - \frac{2e^\lambda}{\pi \lambda} \int_0^a t \sin \lambda t dt \right], \quad (15)$$

また式(12)より $\Phi(\lambda)$ は次のようになる。

$$\Phi(\lambda) = \sum_{m=0}^{\infty} \frac{(-1)^m}{m!} \left[\{ (1-2\nu-\lambda) \frac{4e^\lambda}{\pi \lambda} d_{m+2}(\omega) + \lambda^m e^{-\lambda} \} A_m + \{ (1-2\nu-\lambda) \frac{4e^\lambda}{\pi \lambda} (2(\nu-1)d_{m+1}(\omega) - d_{m+2}(\omega)) - 2\lambda^m e^{-\lambda} \} B_m - (2\nu-1+\lambda) \frac{2e^\lambda}{\pi \lambda} \int_0^a t \sin \lambda t dt \right], \quad (16)$$

ここで

$$d_m(\omega) = (m-1)! \int_0^a \frac{\sin \lambda t}{(1+t^2)^{\frac{m}{2}}} \sin(m \arctan t) dt, \quad (17)$$

である。式(15), (16)より円形き裂面の境界条件が満足される。次に円柱関数と次式により球関数で表わす。

$$e^{-\lambda z} J_0(\mu r) = \sum_{n=0}^{\infty} (-1)^n \frac{(\lambda R)^n}{n!} P_n(\mu). \quad (18)$$

式(9), (10)より得られる応力を重ね合わせ、式(15), (16)を用いると境界条件式(7), (8)より A_m, B_m の無限連立一次方程式となり、 A_m, B_m が決定される。

円形き裂面 $z=-1$ におけるモード I の応力拡大係数を次式により定義する。

$$K_I = \lim_{r \rightarrow a^+} [2\pi(r-a)]^{\frac{1}{2}} \sigma_z(r, \theta, -1), \quad (19)$$

式(19)に $\sigma_z(r > a)$ を代入すると次式を得る。

$$K_I = \frac{4P}{\sqrt{\pi a}} \sum_{m=0}^{\infty} \frac{(-1)^m}{m!} \left[f_{m+2}(\omega) A_m + \{ 2(\nu-1) f_{m+1}(\omega) - f_{m+2}(\omega) \} B_m \right] + 2P \sqrt{\frac{a}{\pi}}, \quad (20)$$

ここに

$$f_m(\omega) = \frac{(m-1)!}{(1+\omega^2)^{\frac{m}{2}}} \sin(m \arctan \omega), \quad (21)$$

である。

4. あとがき

図3. に $a=0.1$ のときの Newmanによる二次元問題の応力拡大係数 k_1 と三次元問題の場合の K_I を示す。球かの半径が小さいとき、 K_I は k_1 に比べて小さいが、 $0.36 \leq b$ では K_I の方が k_1 に比べて大きくなる。

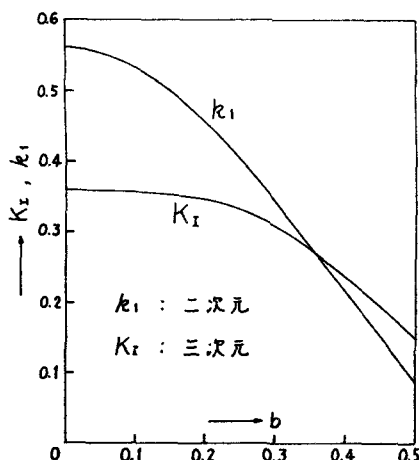


図3. 応力拡大係数の変化 ($a=0.1$)

参考文献

- 1) J. C. Newman : NASA Technical Note, NASA TN D-6376, Aug. 1971